



Рис. 4. Наплавка вала полуавтоматом ПШ 107В: 1 — блок независимого питания; 2 — полуавтомат; 3 — наплавленная поверхность вала дробящего конуса

гарантия высокой степени надежности и ремонтопригодности;

возможность работы как в цеховых условиях, так и на открытых площадках при значительном перепаде температуры окружающей среды. Наиболее соответствует этим требованиям блочно-модульный полуавтомат ПШ 107В, разработанный в ИЭС им. Е. О. Патона [1]. В полуавтоматах этого типа предусмотрено наличие обратных связей, стабилизирующих частоту вращения вала приводного электродвигателя (скорость подачи электродной проволоки) и технологический процесс наплавки. При этом возможно устанавливать различные соотношения действий обратных связей [2].

Methods for reconditioning of large-size parts of mining equipment by mechanised arc surfacing are considered. The possibility of an efficient application of semi-automatic surfacing using self-shielding flux-cored wires for the above purposes is shown by an example of treatment of a crushing cone shaft.

Для обеспечения указанных выше требований полуавтоматы типа ПШ 107В адаптированы к условиям эксплуатации в непрерывном цикле, благодаря усилиению некоторых элементов конструкции (роликовый узел подачи проволоки, токоподводящие наконечники, блоки питания и управления). Источник сварочного тока выбран с необходимым запасом мощности.

Модернизированные полуавтоматы ПШ 107В обеспечивают значительное повышение производительности наплавки и более высокое качество наплавленного металла по сравнению с ручной наплавкой или наплавкой полуавтоматами других типов. Наплавка вала дробящего конуса полуавтоматом ПШ 107В на рабочей площадке и внешний вид его наплавленной поверхности на рис. 4.

В настоящее время с использованием указанной технологии восстановлено несколько валов дробящих конусов. Некоторые из них на протяжении нескольких месяцев успешно эксплуатируются на горнообогатительных комбинатах в г. Кривой Рог. Затраты на восстановление валов не превышали 30 % стоимости новых дробящих конусов, а срок службы восстановленных был не меньше нормативного срока службы новых изделий.

1. Лебедев В. А., Мошкин В. Ф., Пичак В. Г. Полуавтоматы единой блочно-модульной конструкции для сварки, наплавки и резки // Свароч. пр-во. — 1998. — № 1. — С. 24–28.
2. Лебедев В. А., Пичак В. Г. Полуавтоматы для сварки и наплавки типа ПШ 107 // Автомат. сварка. — 1998. — № 7. — С. 38–42.

Поступила в редакцию 02.03.2005

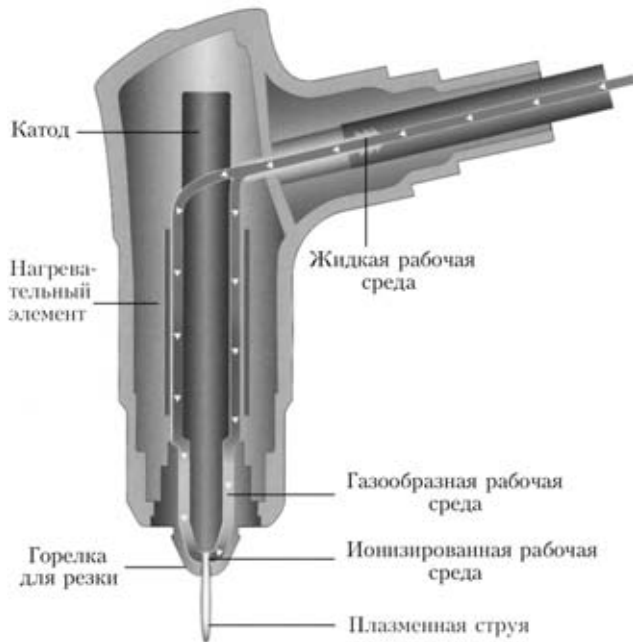
НОВОСТИ

РЕЗКА С ИСПОЛЬЗОВАНИЕМ ЖИДКОСТИ ВМЕСТО ГАЗА

Не газ, а жидкость является исходной средой для нового процесса плазменной резки фирмы Fronius. Сегодня наличие источника сжатого воздуха является вчерашним требованием. Альтернатива — компактное устройство TransCut 300, идеально подходящее для применения как в цеху, так и в полевых условиях. Преимущество новой системы заключается в неограниченной портативности, а также в существенном сокращении выбросов токсичных веществ.

Традиционные портативные системы плазменной резки, портативные в том смысле, что их можно использовать для ручной резки, требуют либо соединения со стационарным источником сжатого газа, либо применения отдельного компрессора. И





то и другое в значительной степени ограничивает портативность и усложняет перемещение. Устройство TransCut 300 положило конец указанным ограничениям благодаря альтернативной концепции источника. Вместимость встроенного резервуара для жидкой используемой при резке среды — 1,5 л. При этом для облегчения заправки используются картриджи. Данная жидкость в парообразном, ионизированном состоянии служит средой для плазмы.

Жидкость, обеспечивающая экономию пространства, используется в качестве режущего материала. Она нагревается и ионизируется внутри горелки для резки. Результат: легкая резка пластин толщиной до 12 мм, улучшенная портативность и сокращение выбросов по сравнению с системами резки, работающими на сжатом воздухе.

TransCut 300 открывает новые возможности в области технологии резки: портативные, совместимые с генератором системы предназначены для того, чтобы оказать решающее влияние на практическое применение процессов резки. В будущем этот более экологически чистый и благоприятный для здоровья человека процесс резки — «зеленый» процесс — станет обычным явлением в секторе металлообработки. Более того, TransCut 300 — это система плазменной резки, имеющая самые маленькие размеры и самую малую массу (14 кг) среди систем данного класса.

Эта система совместима с генератором, может подсоединяться к сети напряжением всего 220 В и резать сталь, алюминий, нержавеющую сталь толщиной до 12 мм. Поскольку в данном процессе исключается поглощение азота поверхностями реза, это существенно снижается вероятность образования пор при последующей сварке. И последнее, но не менее важное, преимущество заключается в том, что благодаря повышенной скорости резки в значительной степени повышается эффективность процесса.

УДК 621.79(088.8)

ПАТЕНТЫ В ОБЛАСТИ СВАРОЧНОГО ПРОИЗВОДСТВА*

Способ удаления продуктов газовыделения из каналов пластинчато-ребристых теплообменников при их пайке, отличающийся тем, что нагрев пакета осуществляют аэродинамическим нагревателем и поток инертного газа на его выходе разделяют надвое, причем один из потоков направляют в камеру, а при помощи второго создают перепад давлений на противоположных концах теплообменных каналов, обеспечивающий циркуляцию газа в последних. Патент РФ 2252114. Ю. В. Грачев, В. П. Крачевкин, В. В. Лахман и др. (ОАО «Криогенмаш») [14].

Способ заварки кратера шва, отличающийся тем, что заварку ведут в углекислом газе при неподвижной дуге, а силу тока, напряжение на дуге и время заварки с допуском $\pm 5\%$ определяют по соотношениям $V_{\text{к}} \gamma - \xi I_{\text{жк}}^{x1} d_{\text{з}}^{x2} l_{\text{з}}^{x3} t_{\text{жк}} \frac{1}{3600} = 0$,

$U_{\text{жк}} - K I_{\text{жк}}^{x4} = 0$, $\frac{I_{\text{cb}}^{x4} K \eta}{2\pi\lambda T} - L = 0$, где $V_{\text{к}}$ — объем кратера, оп-

ределяемый по зависимости $V_{\text{к}} = p\xi \frac{I_{\text{cb}}^{x5} d_{\text{з}}^{x2} l_{\text{з}}^{x3} \eta K_{\text{жк}}}{2\pi\lambda\gamma V_{\text{cb}} 3600}$, см 3 ; $I_{\text{жк}}$, $U_{\text{жк}}$,

$t_{\text{жк}}$ — соответственно сила сварочного тока, А; напряжение на дуге, В; время заварки кратера, с; $d_{\text{з}}$, $l_{\text{з}}$ — диаметр и вылет электродной проволоки, см; I_{cb} , V_{cb} — соответственно сила сварочного тока, А, и скорость сварки, см/с; $x1 = 1,32$, $x2 = 0,64$, $x3 = 0,38$, $x4 = 0,37$, $x5 = 2,69$, $\xi = 0,616$, $K_{\text{жк}} = 3,65$ В/А, $p = 0,6$; η , λ , T — соответственно эффективный КПД процесса нагрева изделия сварочной дугой, коэффициент теплопроводности, Вт/(см·К), температура плавления свариваемого металла, $^{\circ}\text{C}$; L — длина сварочной ванны, см. Патент РФ 2252115. А. С. Бабкин (Липецкий ГТУ) [14].

Способ дуговой сварки многопроходных соединений, отличающийся тем, что задают длину сварного соединения, глубину проплавления предыдущего прохода и критическую скорость охлаждения, а сварку заполняющих слоев ведут с температурой подогрева, силой сварочного тока, напряжением и скоростью сварки, определяемых с допуском $\pm 5\%$ по соотношениям:

$$\frac{d}{dT_{\text{п}}} f(I_{\text{cb}}, V_{\text{cb}}, T_{\text{п}}, \lambda_1, \lambda_2, \lambda_3, \lambda_4, \lambda_5, \lambda_6) = 0,$$

$$\frac{d}{dI_{\text{cb}}} f(I_{\text{cb}}, V_{\text{cb}}, T_{\text{п}}, \lambda_1, \lambda_2, \lambda_3, \lambda_4, \lambda_5, \lambda_6) = 0.$$

* Приведены сведения о патентах РФ, опубликованных соответственно в бюллетенях «Изобретения. Полезные модели» за 2005 г. (в квадратных скобках указан номер бюллетеня).

Патент РФ 2252116. А.С. Бабкин, Л. Т. Епифанцев (То же) [14].